

FIG. 2A
(PRIOR ART)

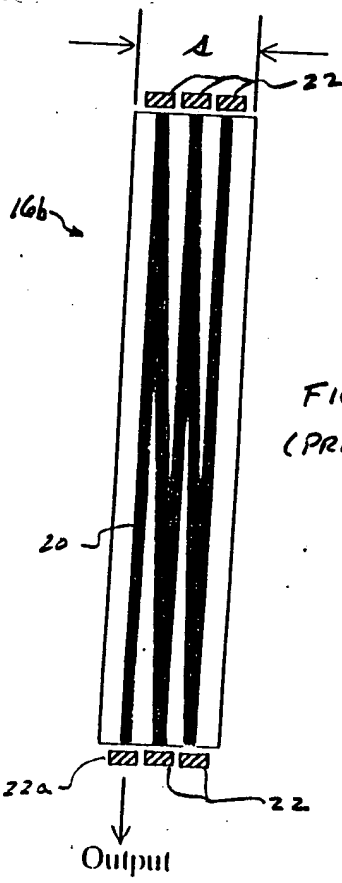


FIG. 2B
(PRIOR ART)

RELATIVE MODE QUALITY

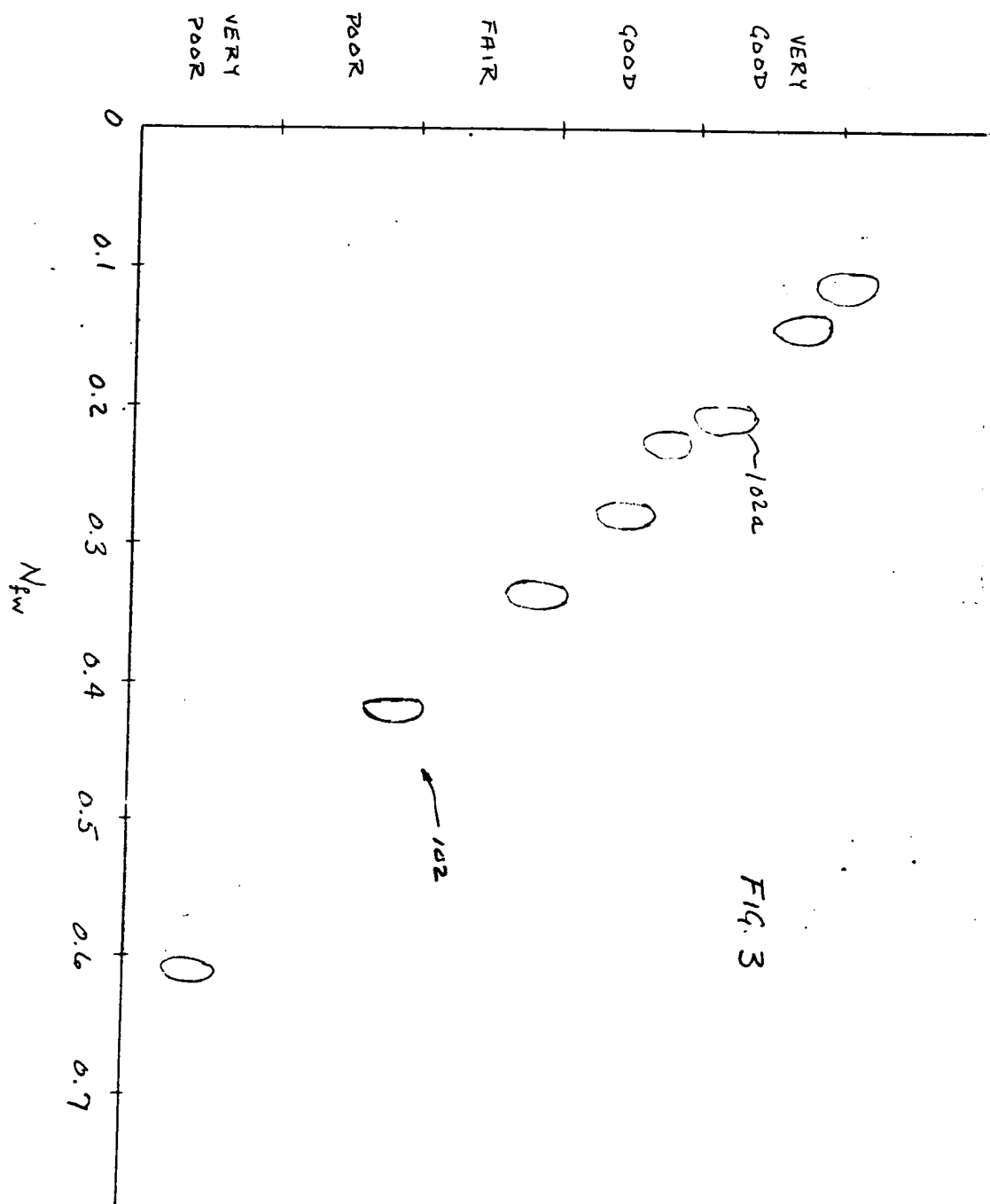


FIG. 3

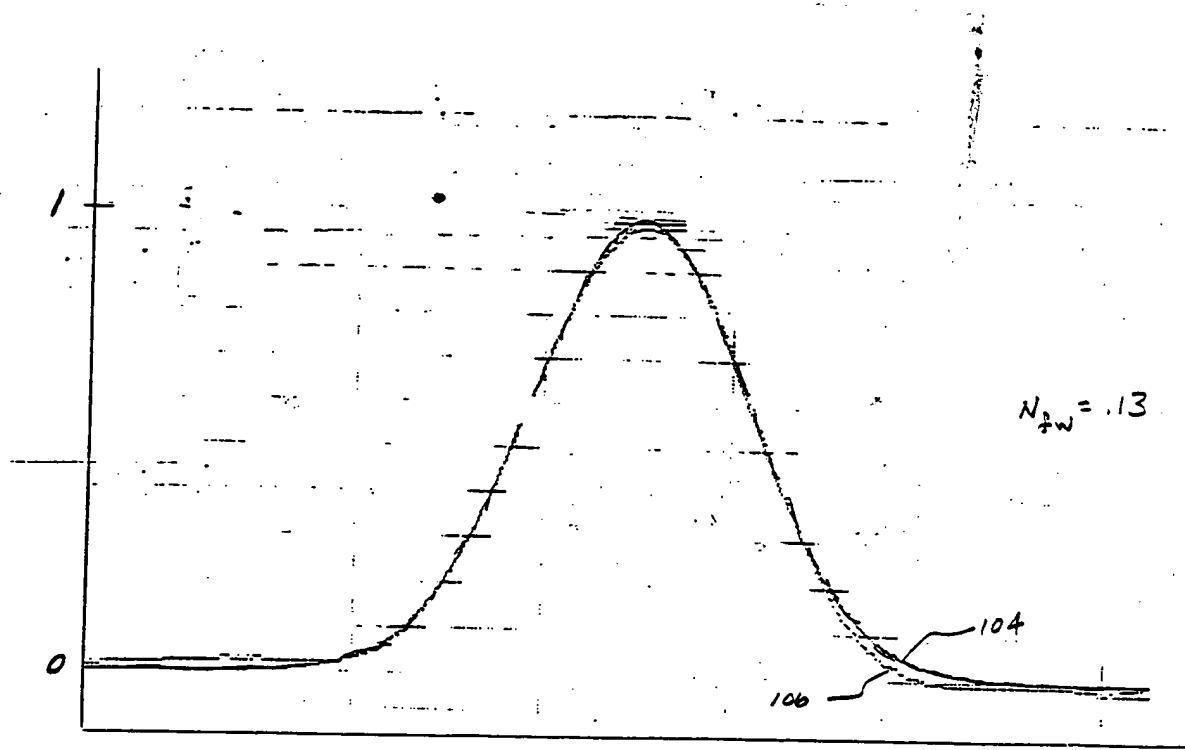


FIG. 4 A

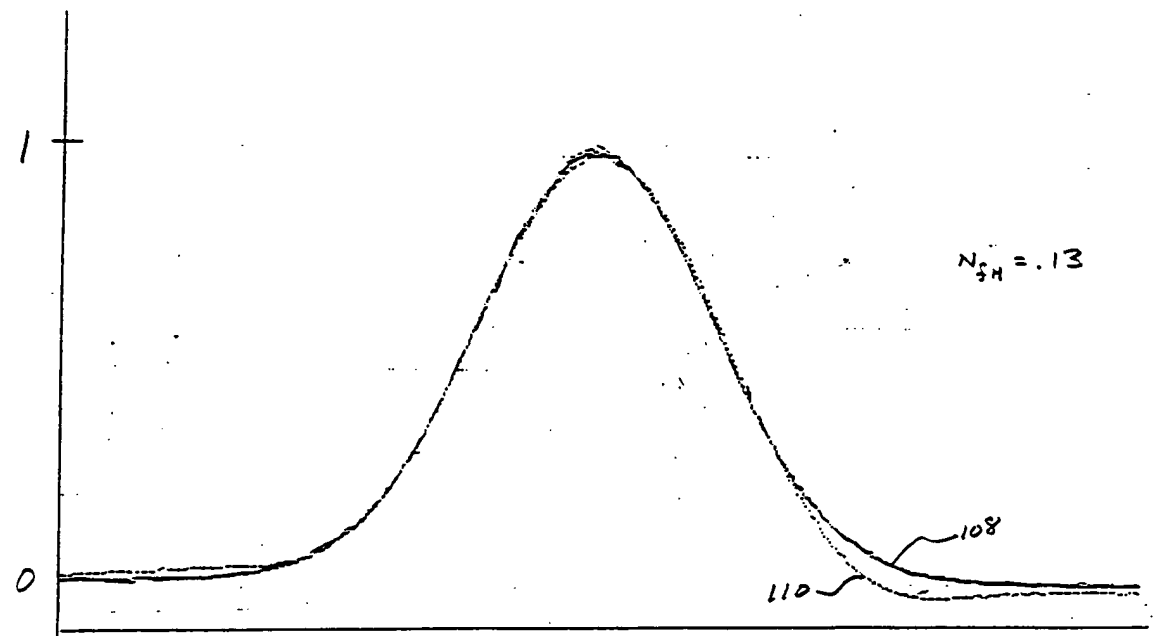


FIG. 4B

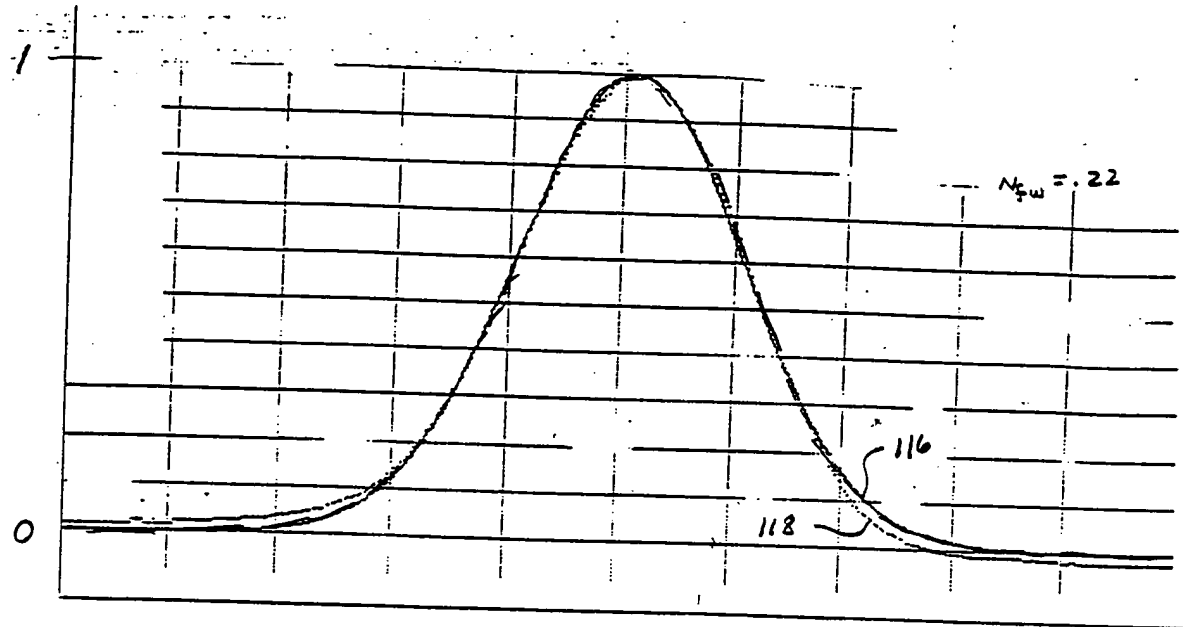


FIG. 5A

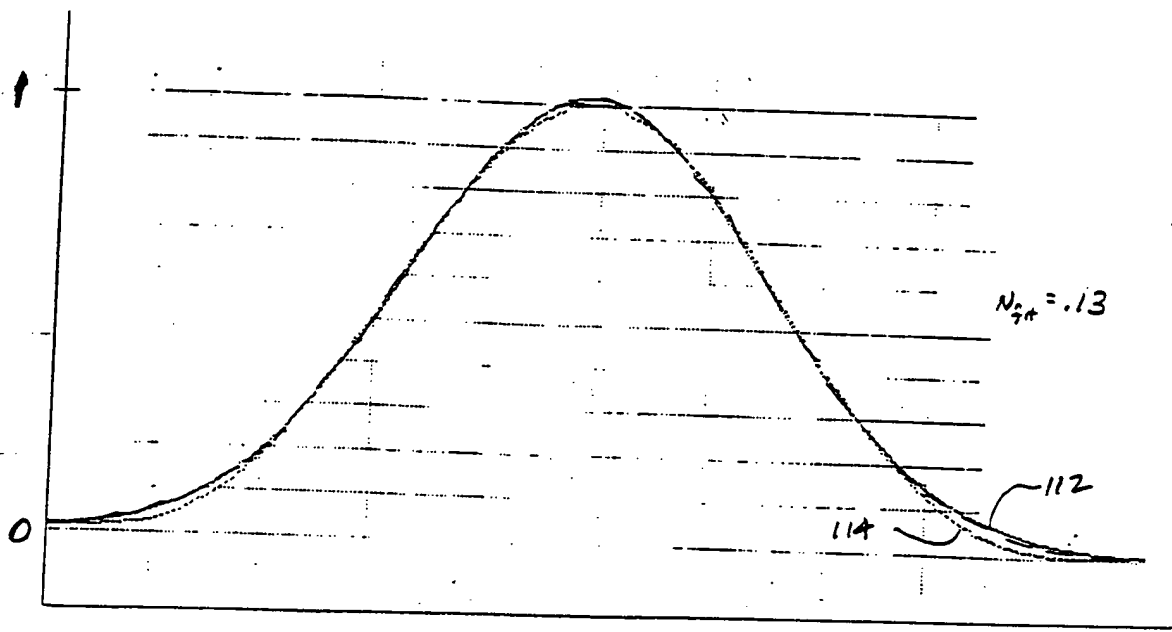


FIG. 5B

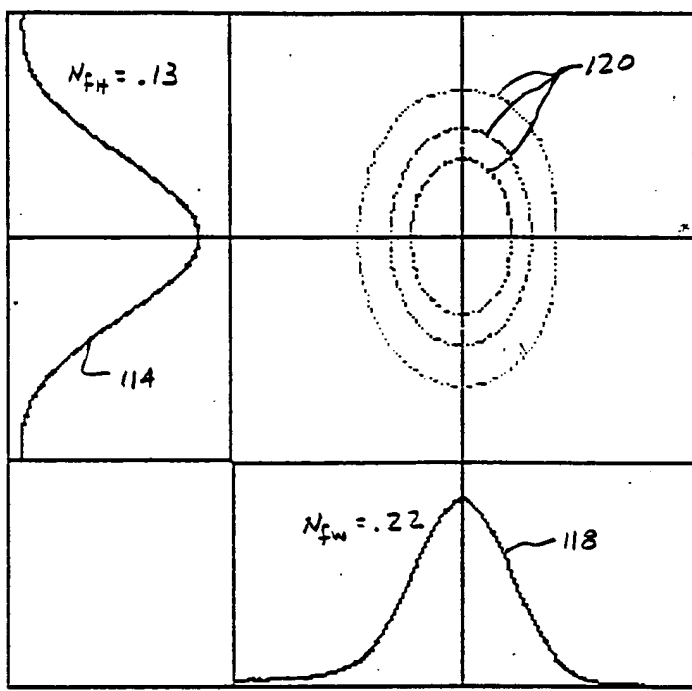


FIG. 6

FIGURE 7
Schematic diagram of the

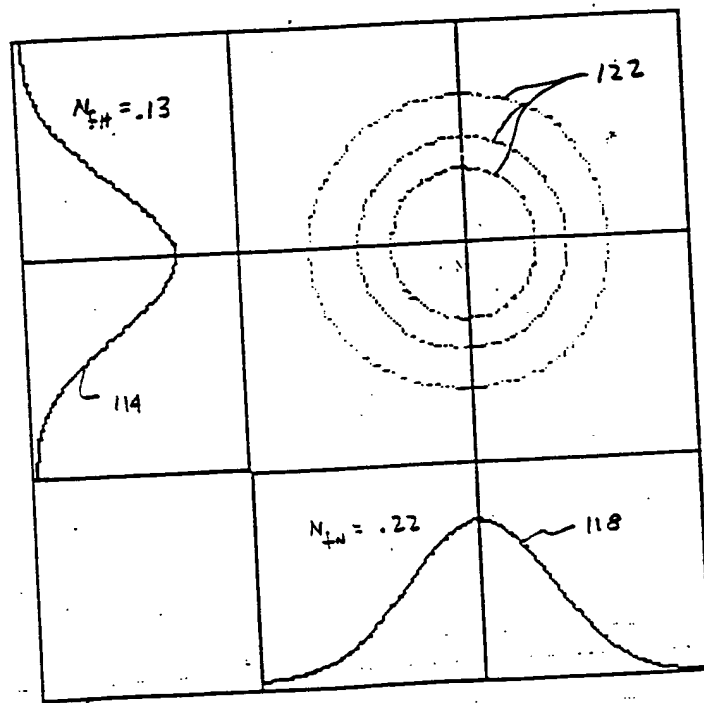


FIG. 7

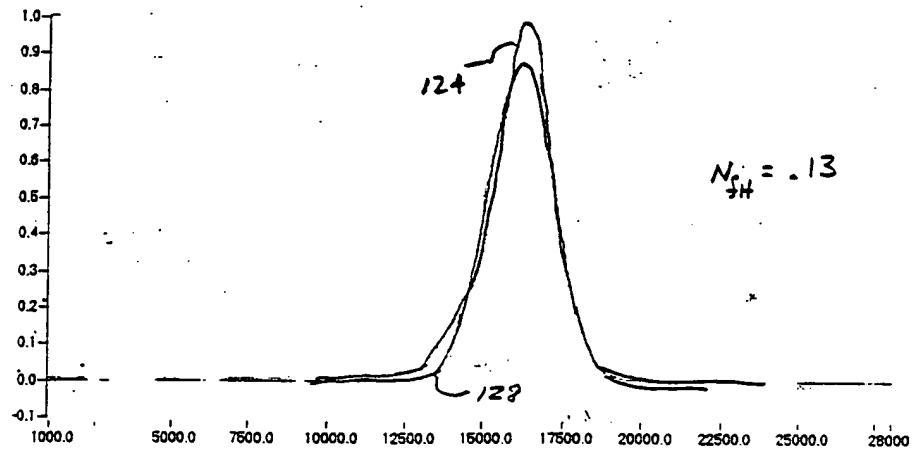


FIG. 8A

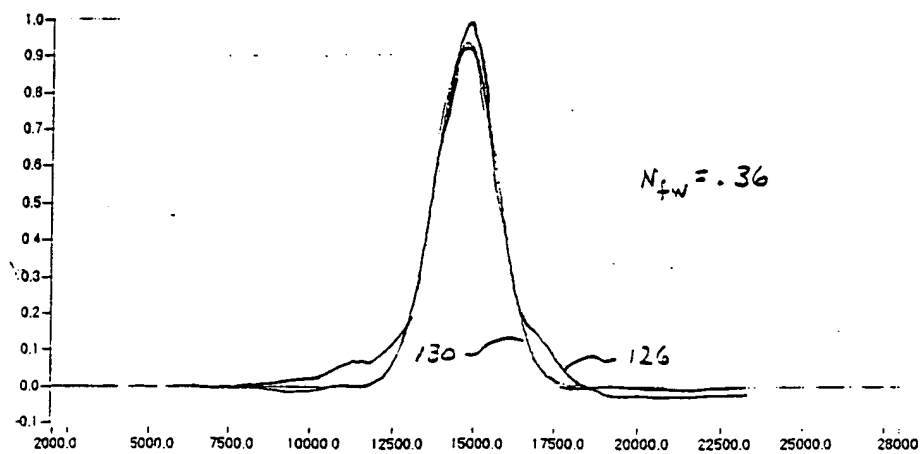
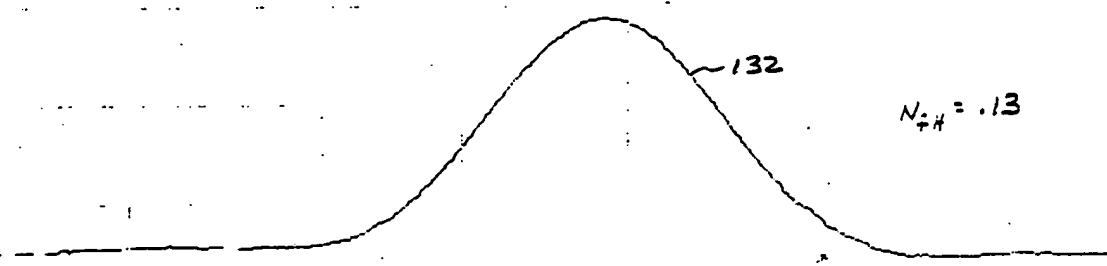
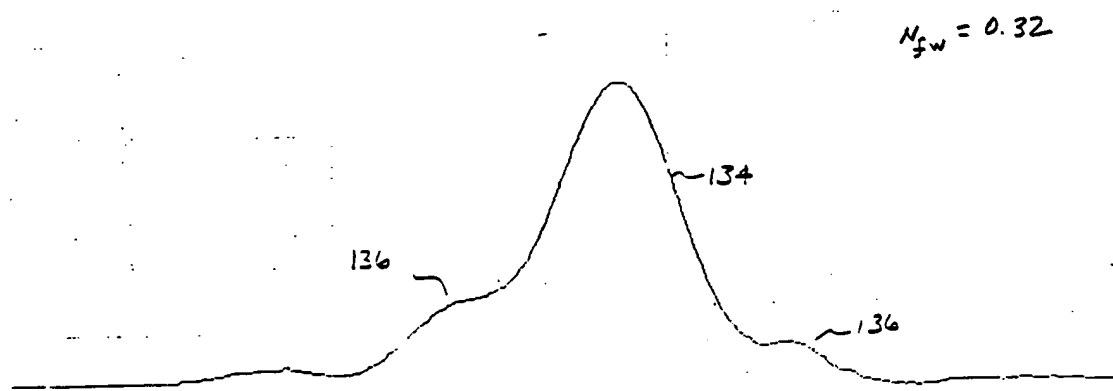


FIG. 8B



$N_{FW} = .13$

FIG. 9A



$N_{FW} = 0.32$

FIG. 9B

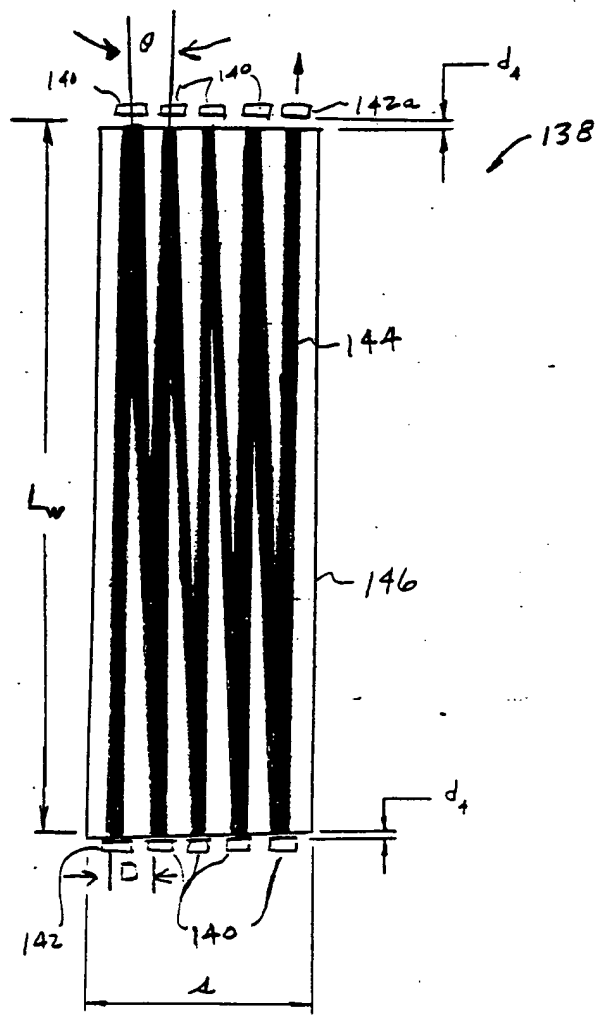


FIG. 10A

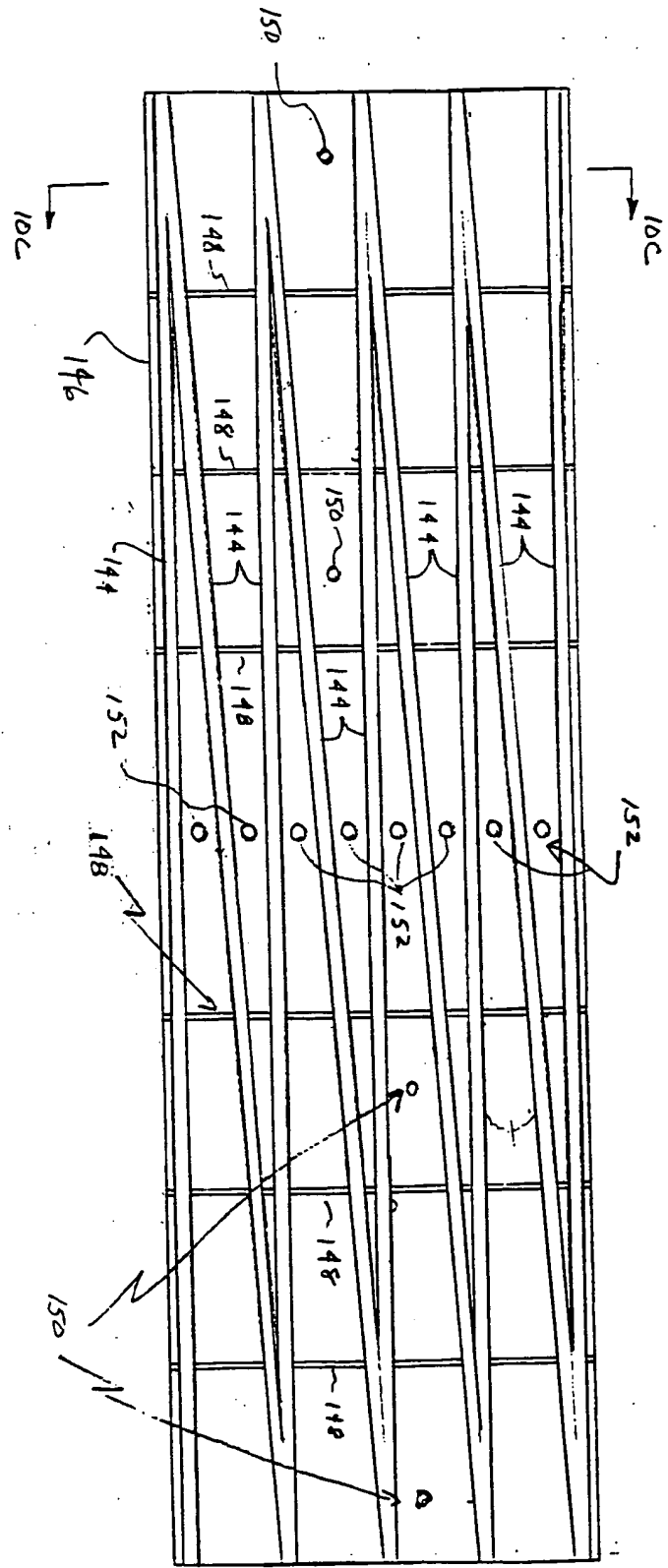


FIG. 10B

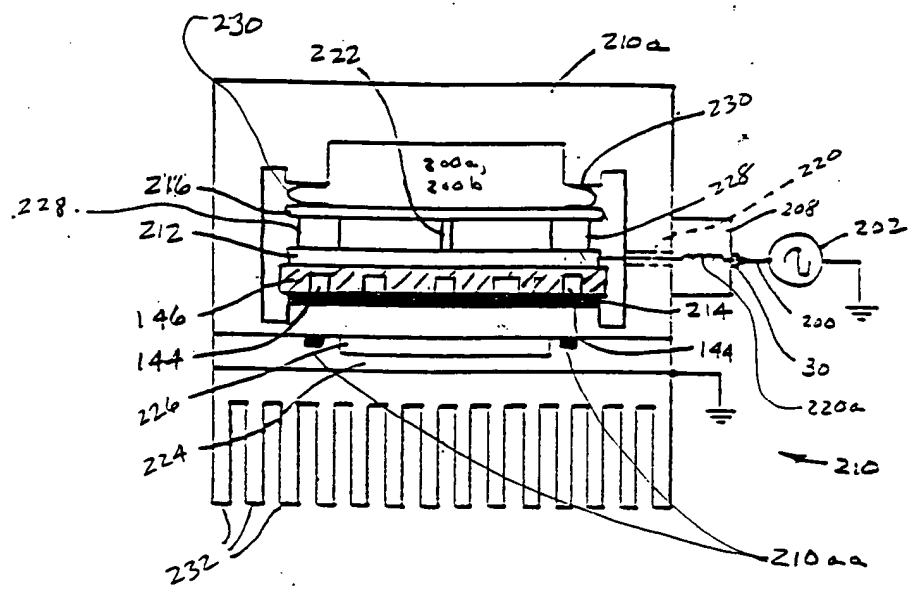
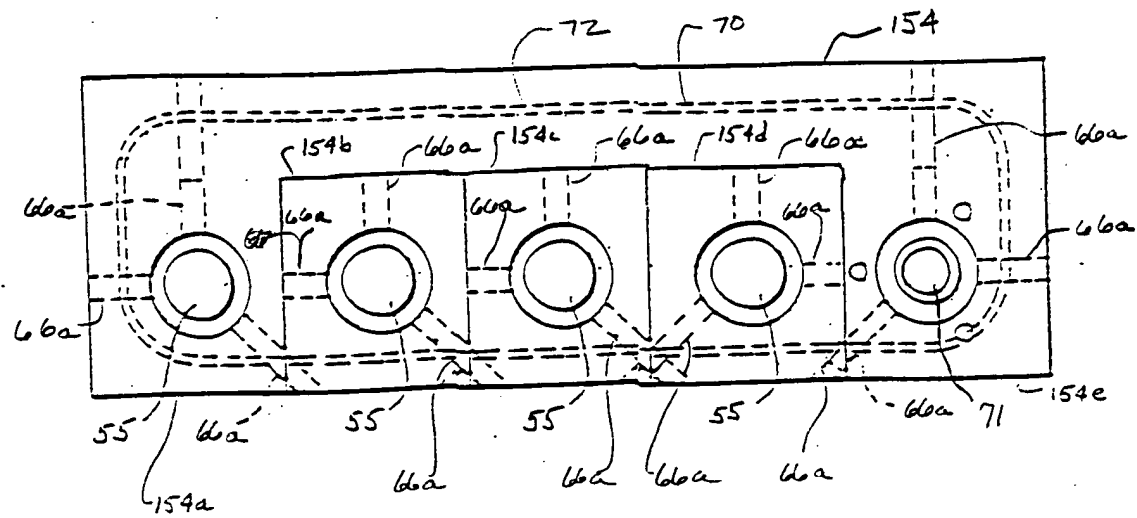
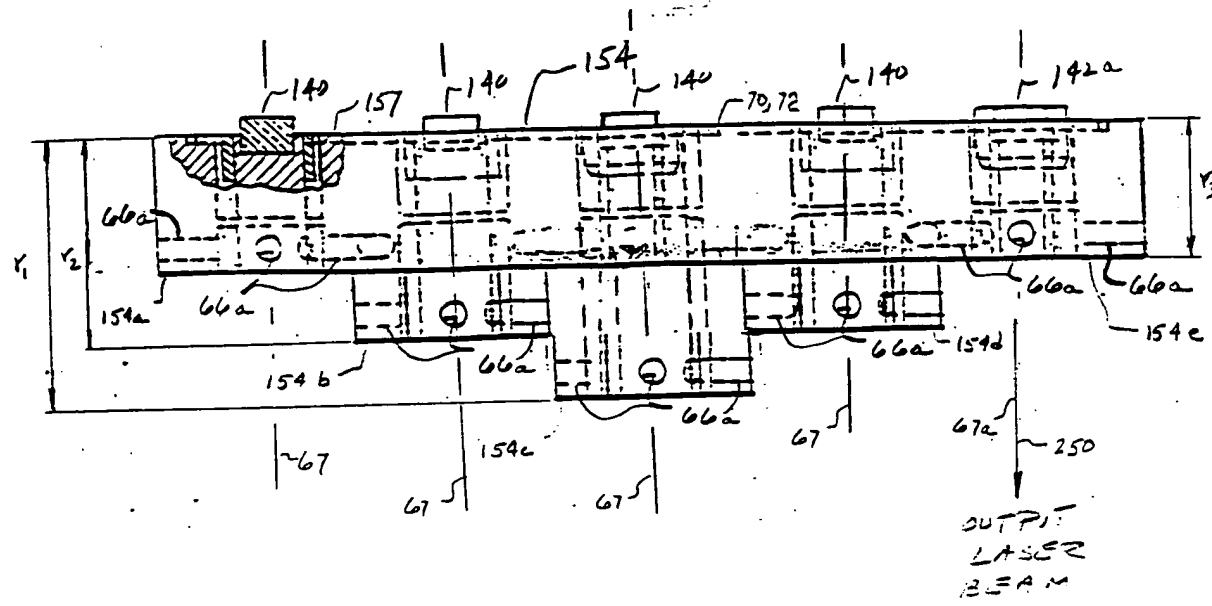
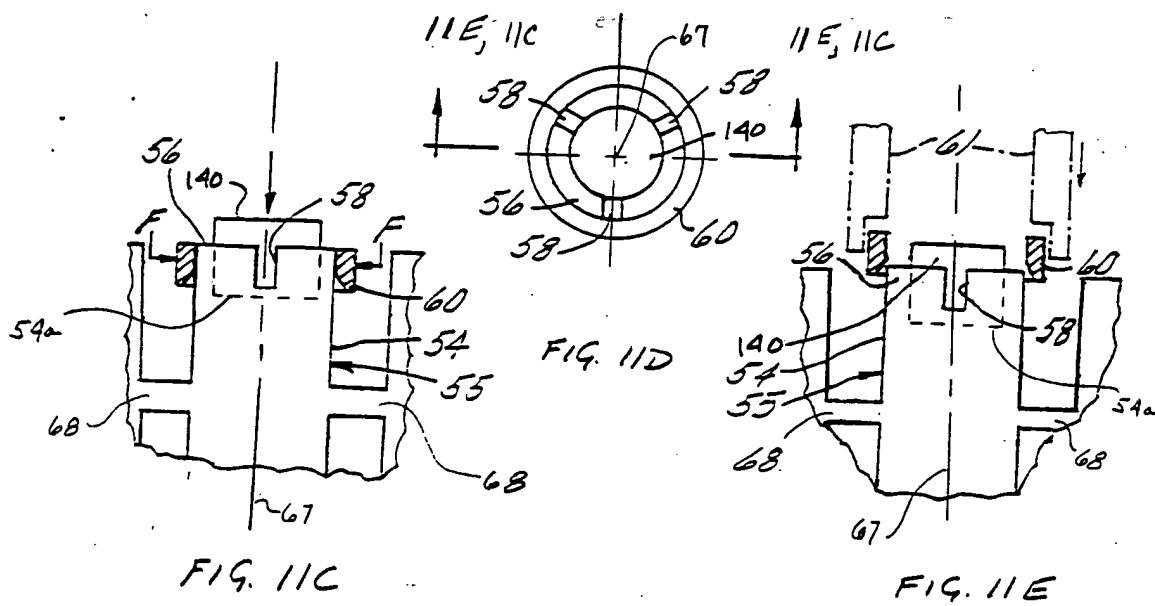


FIG. 10C





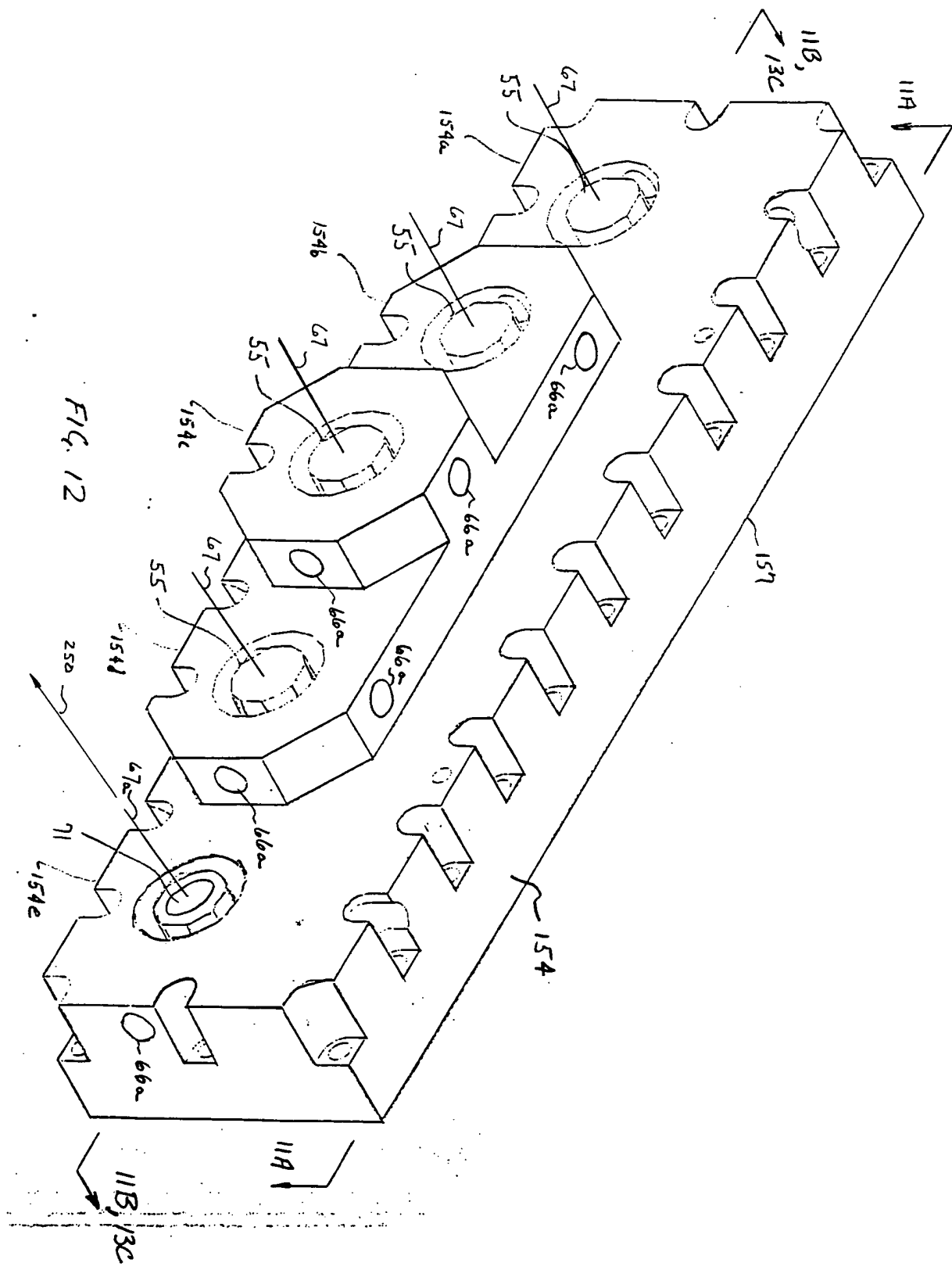


FIG. 12

096122733 • 023000

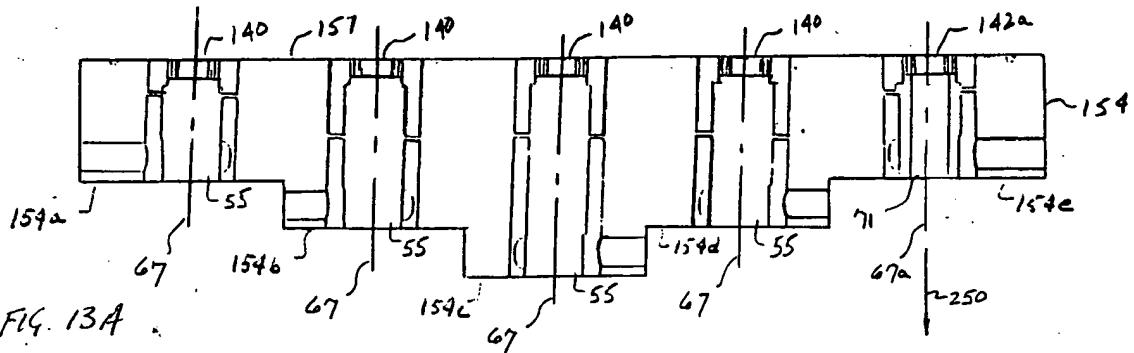


FIG. 13A

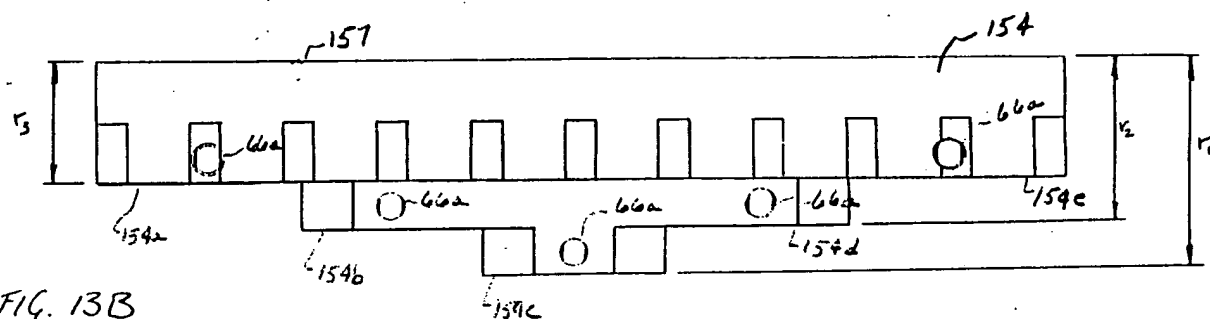


FIG. 13B

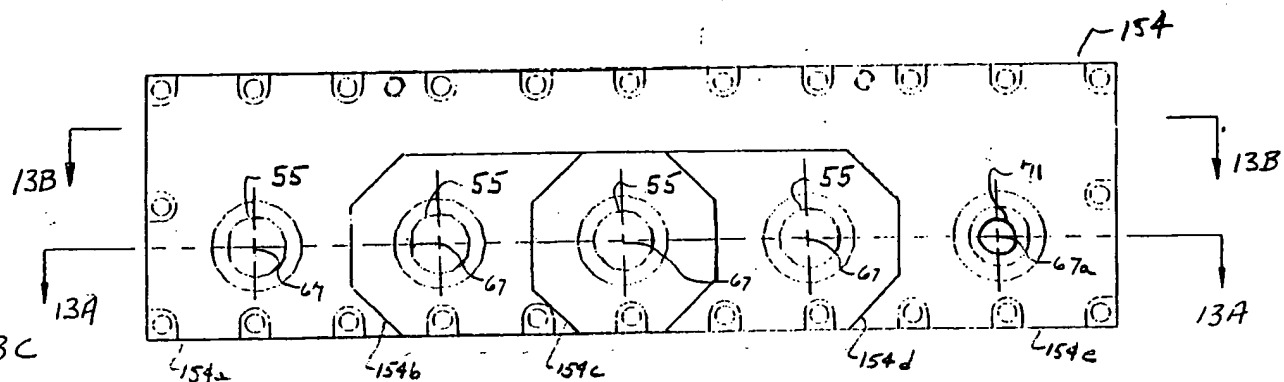


FIG. 13C

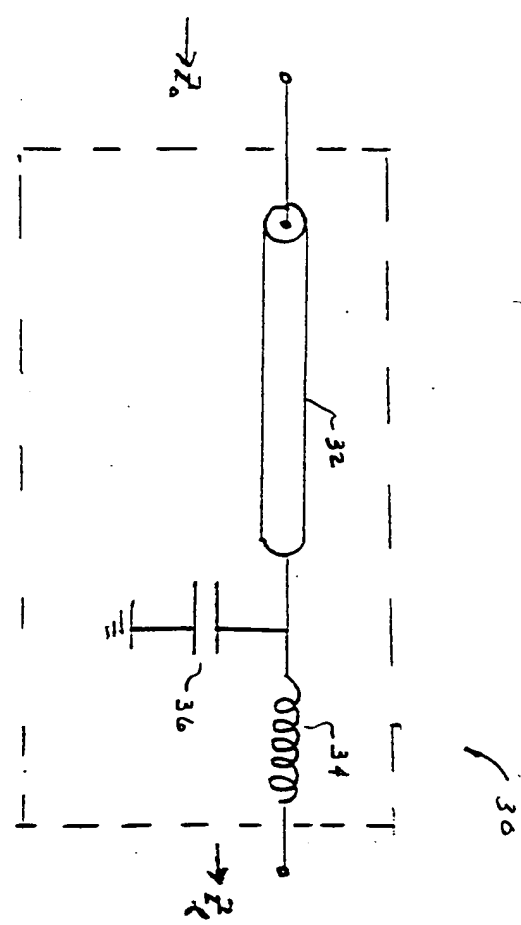


FIG. 14
(PRIOR ART)

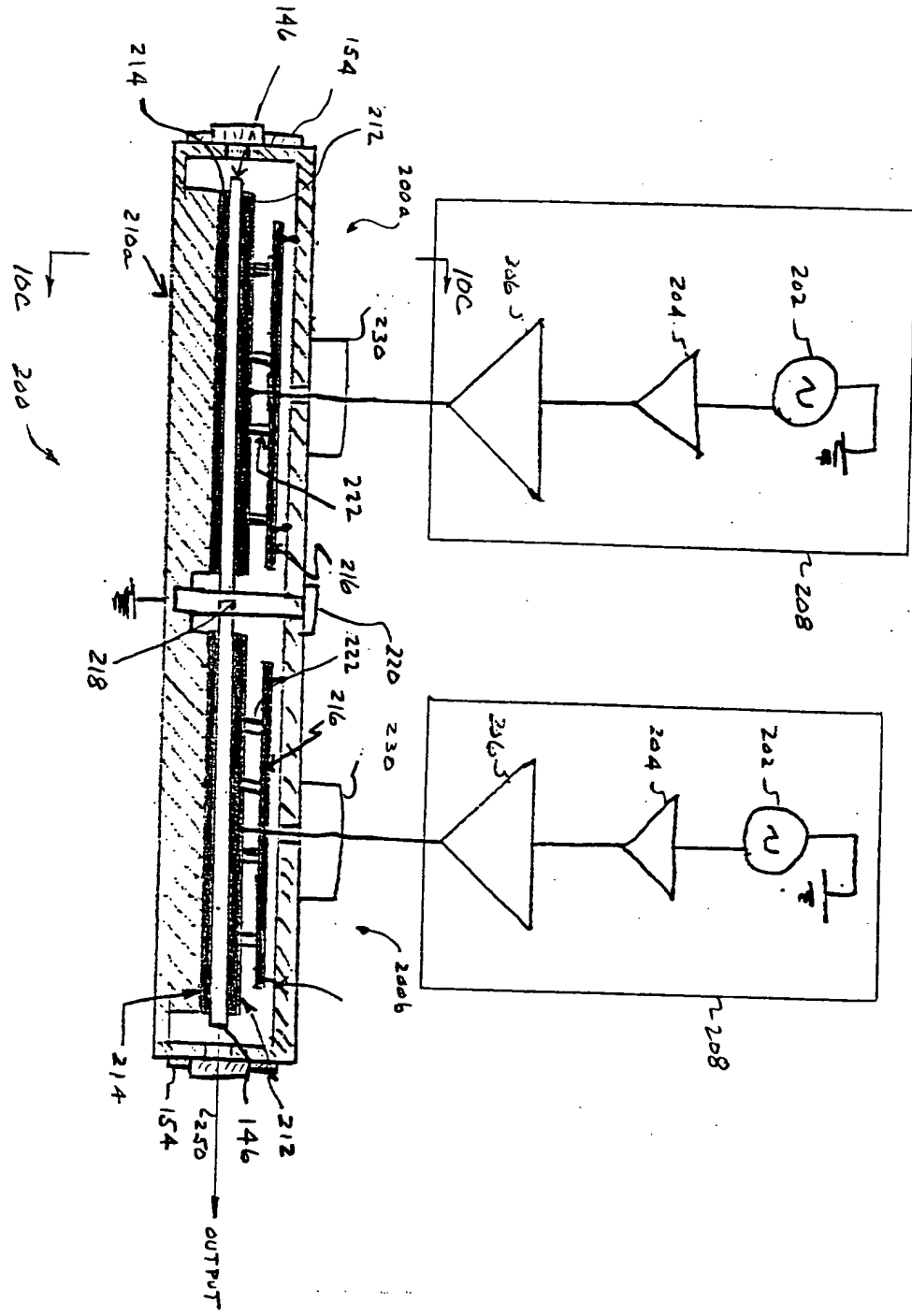


FIG. 15A

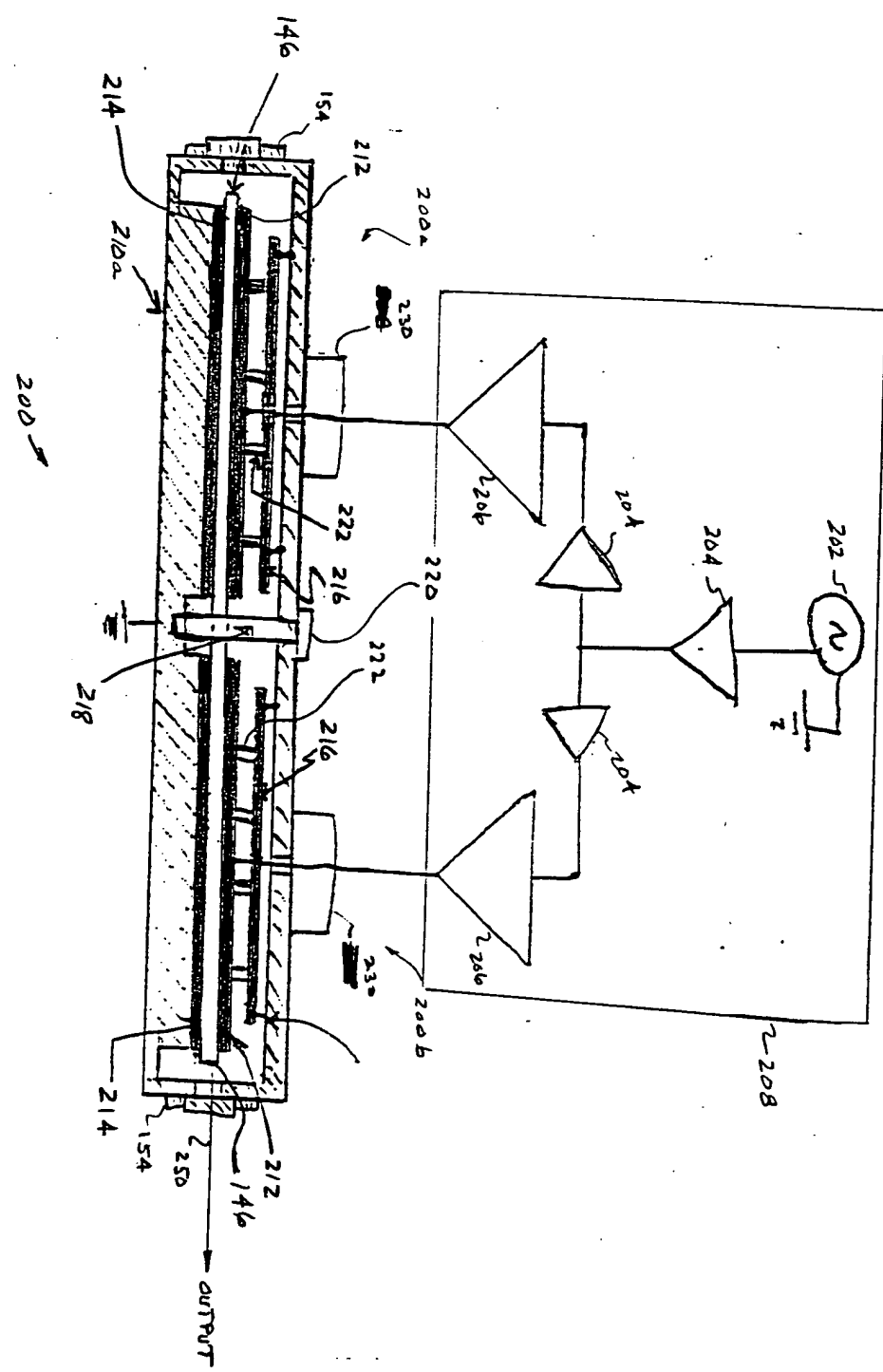


FIG. 15B

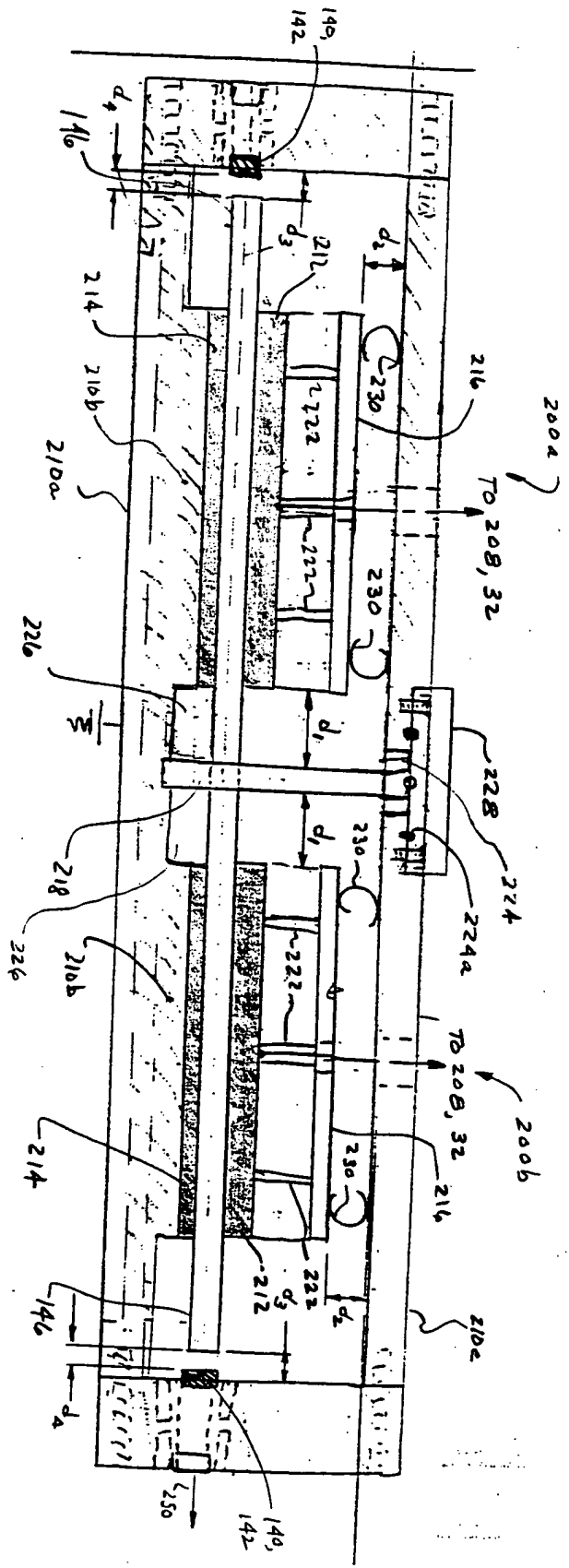


FIG. 16A

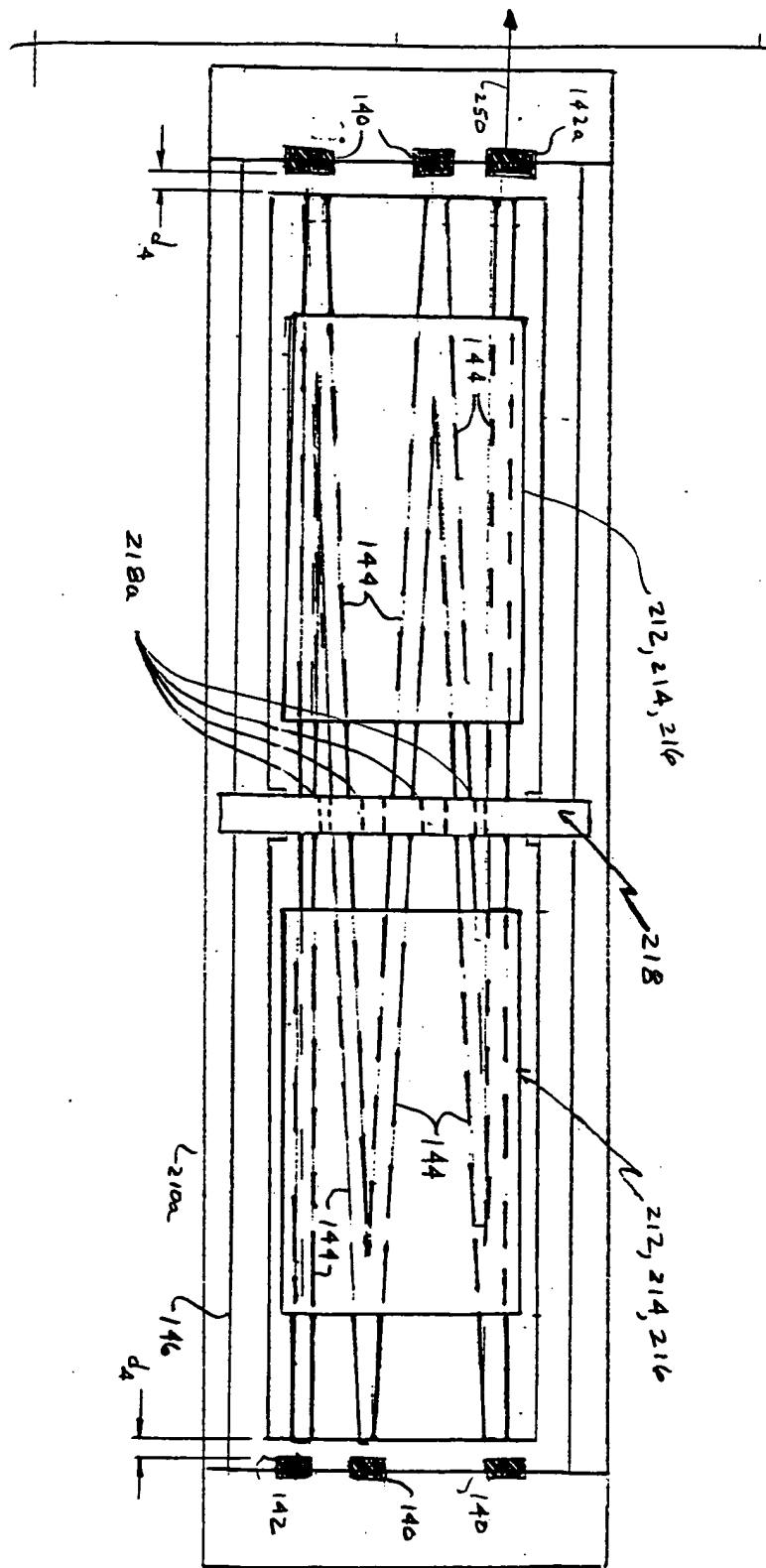


FIG. 16 B

卷之三

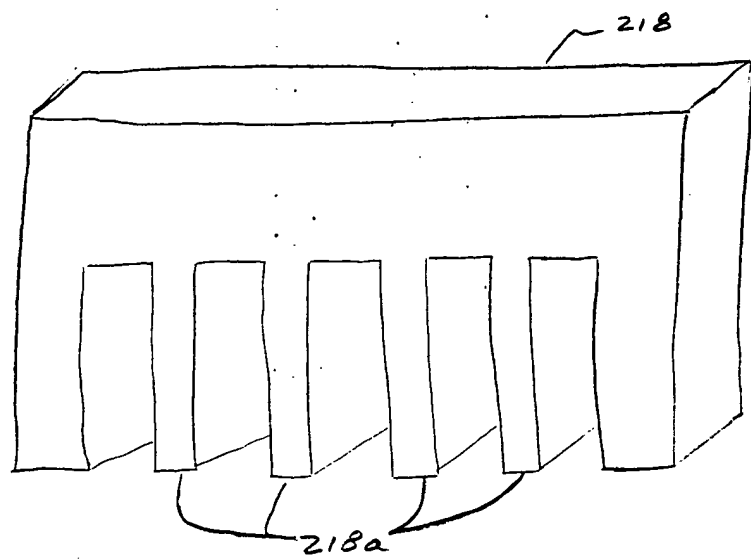


FIG. 16C

FIG. 17A

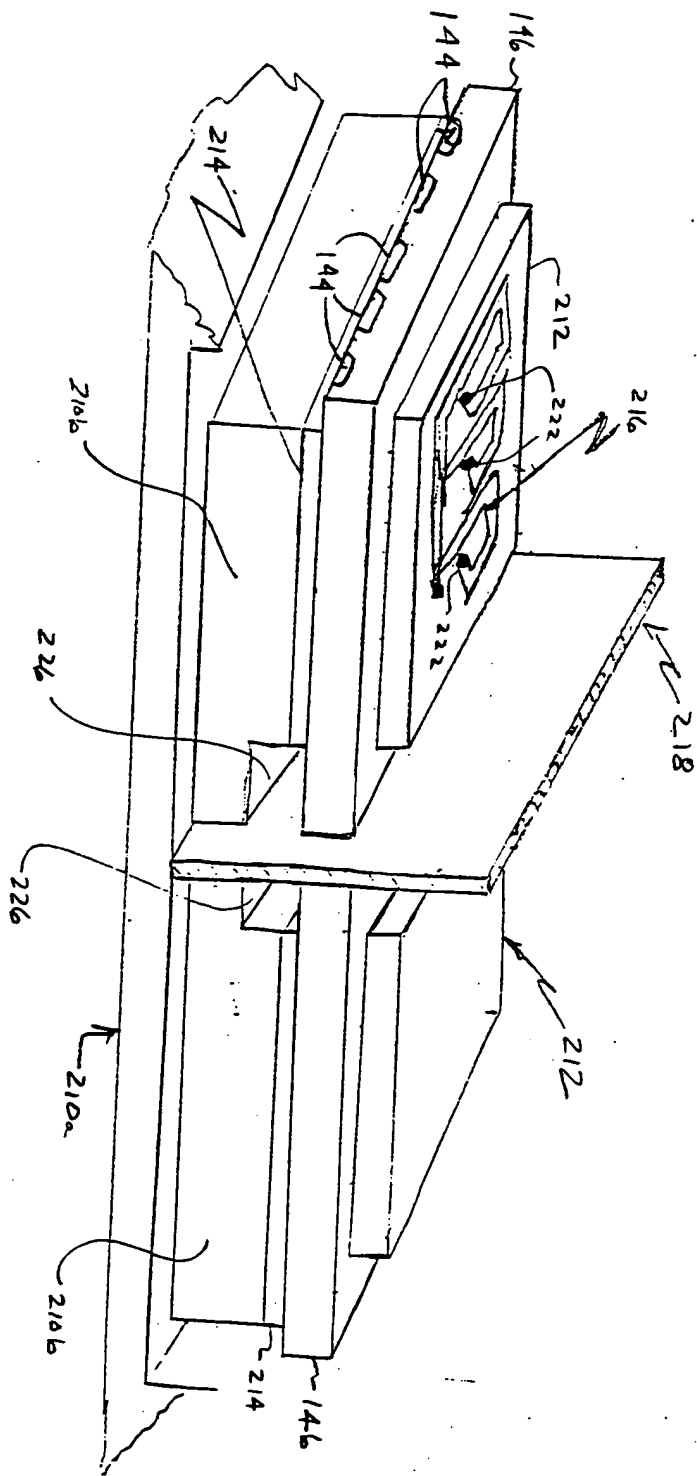
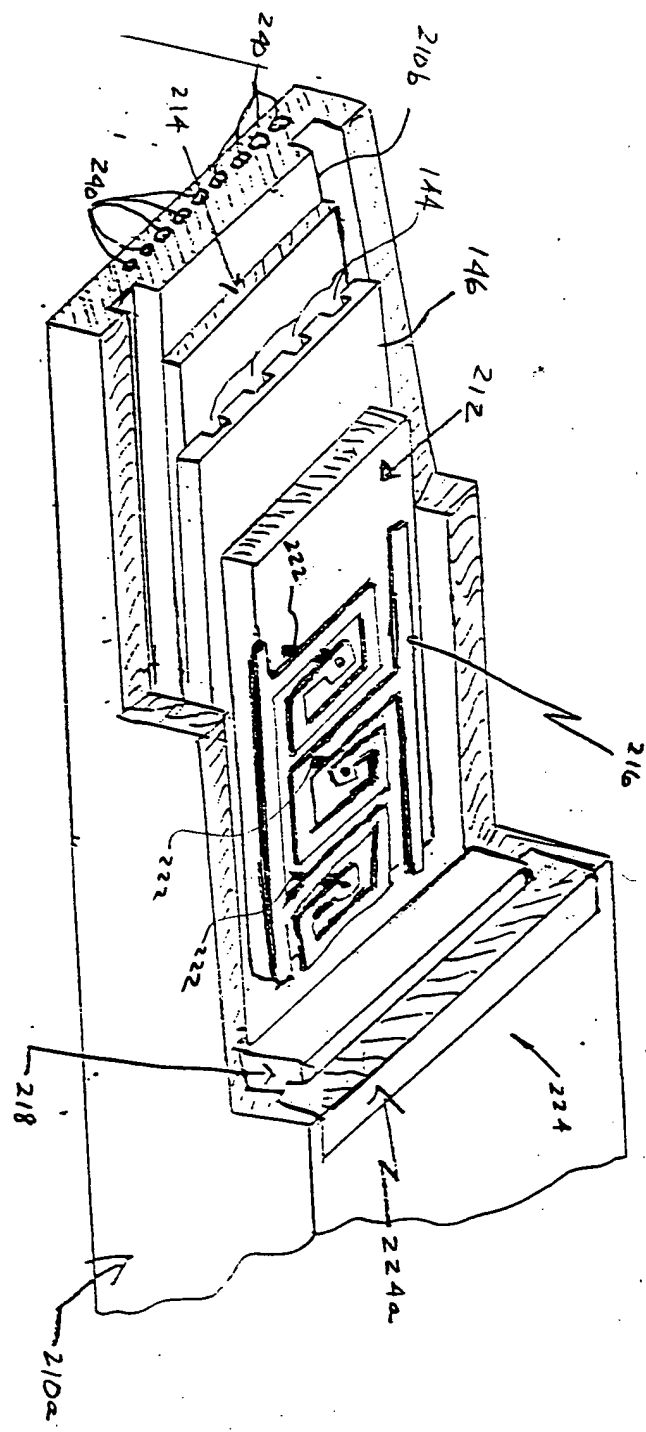


FIG. 17B



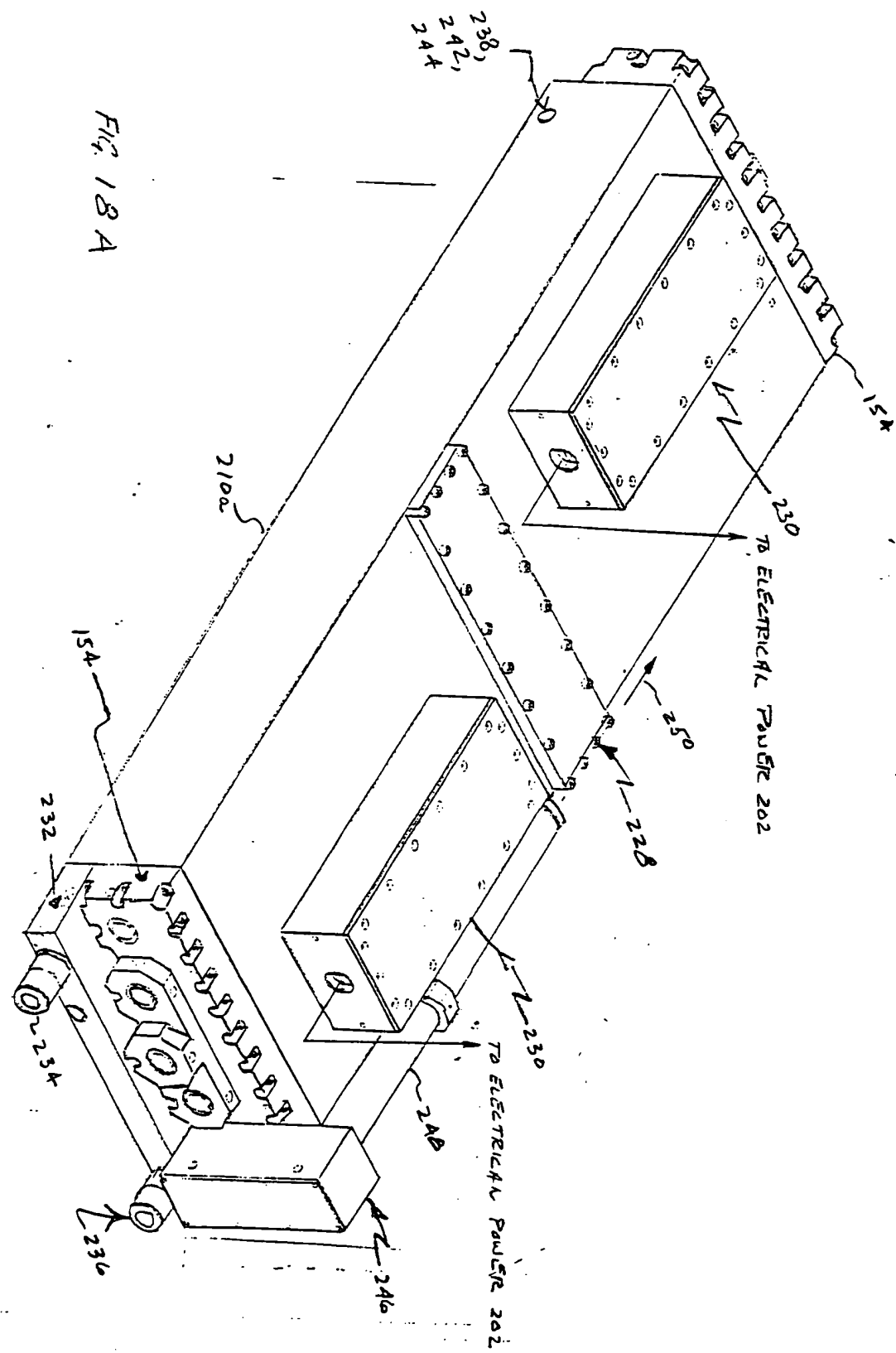


FIG. 18 B

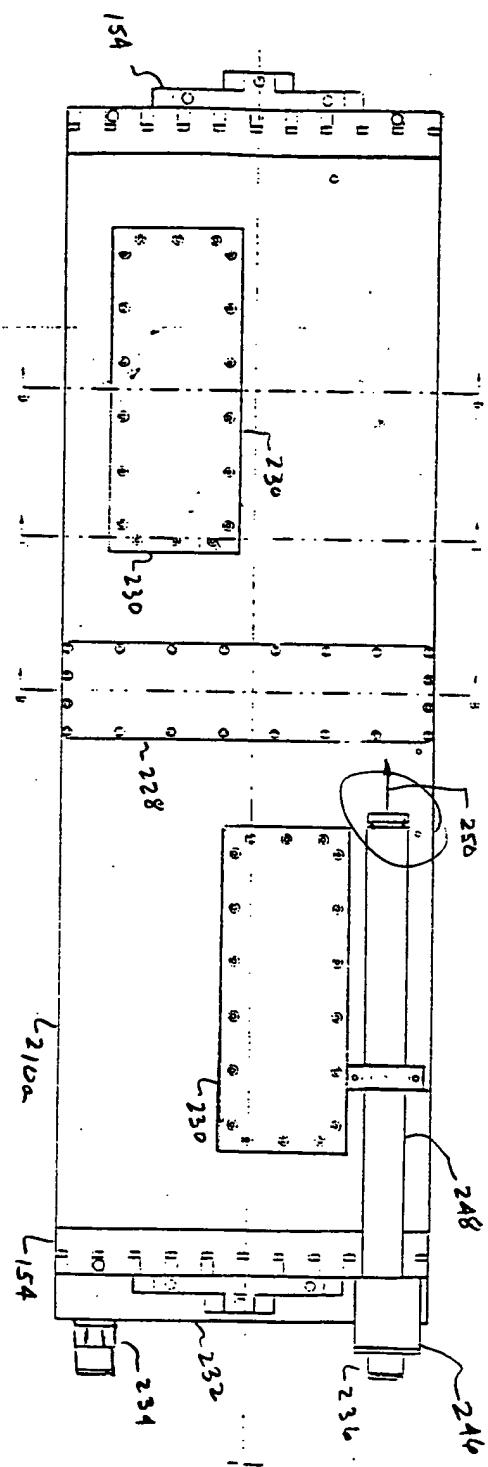
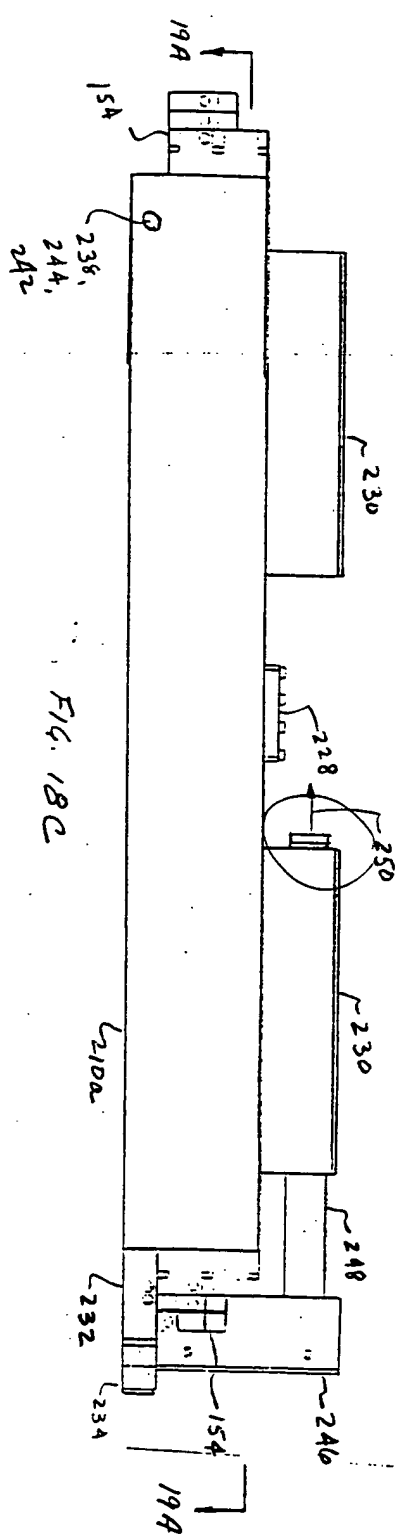


Fig. 18C



卷之三

FIG. 19A

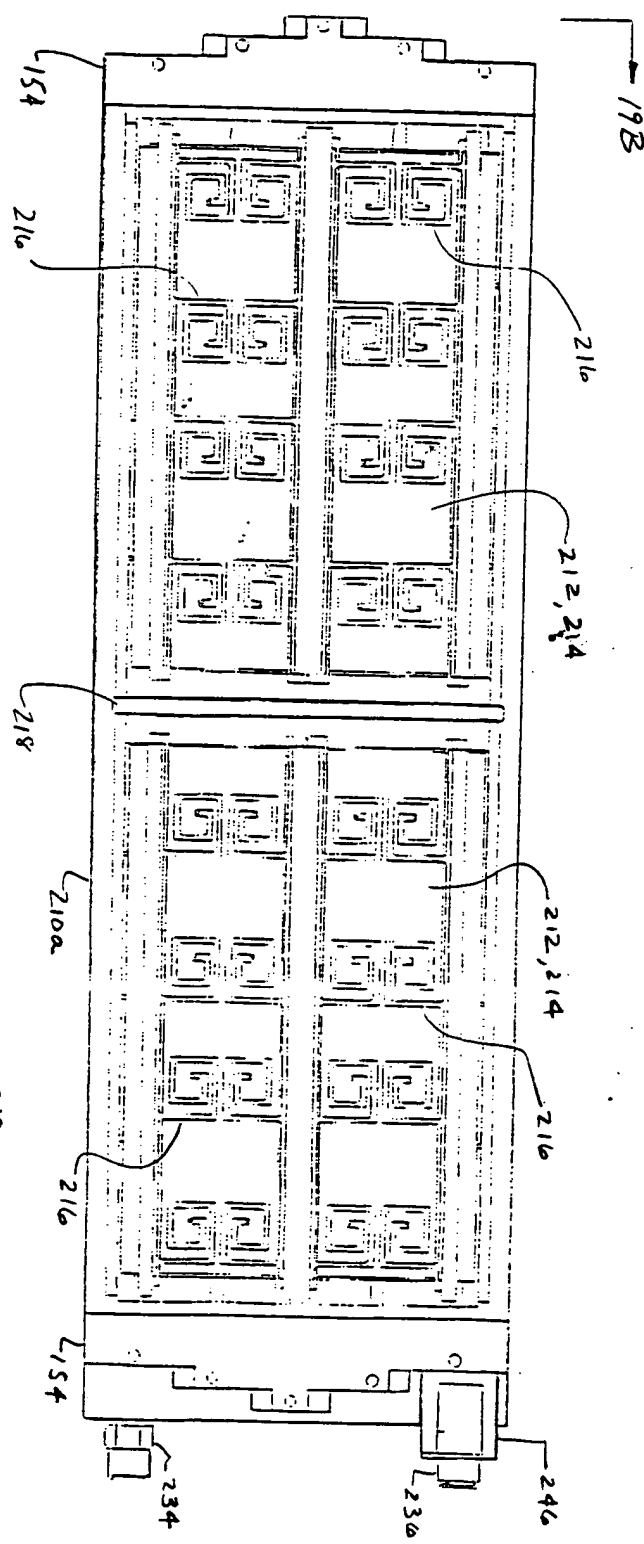
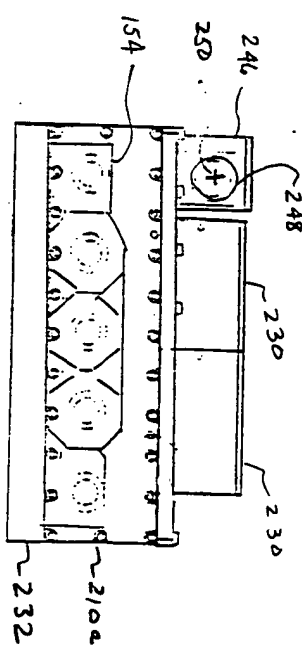


FIG. 19B



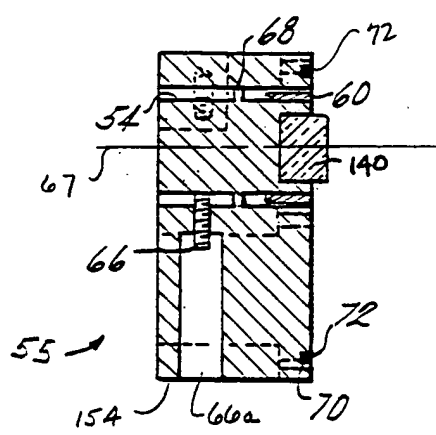


FIG. ~~2~~ 20

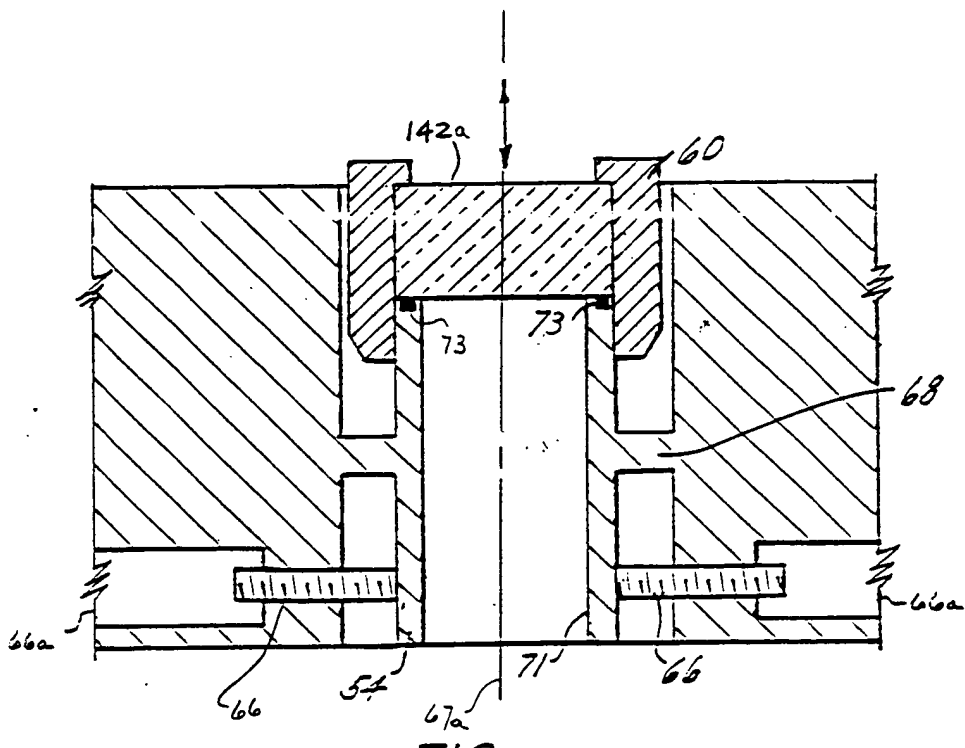


FIG. 21

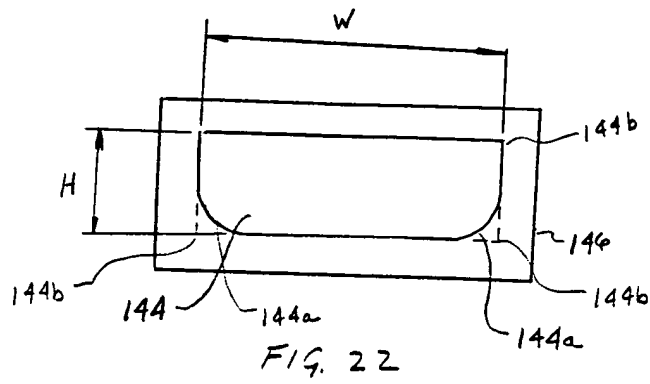


FIG. 22

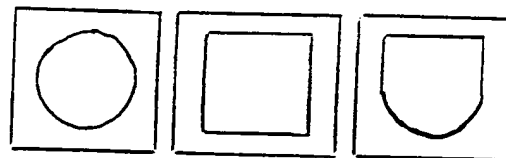


FIG. 23

(PRIOR ART)